

เอนไซม์ย่อยสลายเซลลูโลสของ Aspergillus fumigatus Fresenius(V₁)
ที่แยกได้จากกองขยะ



นางสาวนฤมล เรืองฤทธิพันธ์

วิทยานิพนธ์นี้เป็นส่วนหนึ่งของการศึกษาคณะหลักสูตรปริญญาวิทยาศาสตรมหาบัณฑิต
ภาควิชาชีวเคมี

บัณฑิตวิทยาลัย จุฬาลงกรณ์มหาวิทยาลัย


พ.ศ. 2526

ISBN 974-561-848-9

008643

II15916390

The Cellulolytic Enzymes Produced by Aspergillus fumigatus
Fresenius (V_1) Isolated from Active Compost Piles.



Miss Narumol Ruangrittinent

A Thesis Submitted in Partial Fulfillment of the Requirements
for the Degree of Master of Sciences
Department of Biochemistry
Graduate School
Chulalongkorn University

1983

ISBN 974-561-848-9

หัวข้อวิทยานิพนธ์ เอนไซม์ย่อยสลายเซลลูโลสของ Aspergillus fumigatus
Fresenius(V₁) ที่แยกได้จากกองขยะ
 โดย นางสาวนฤมล เรืองฤทธินนท์
 ภาควิชา ชีวเคมี
 อาจารย์ที่ปรึกษา รองศาสตราจารย์ ดร.สันต์ พณิชยกุล
 อาจารย์ที่ปรึกษาร่วม ผู้ช่วยศาสตราจารย์ ดร.วิภาดา สุรัตน์กวีกุล

บัณฑิตวิทยาลัย จุฬาลงกรณ์มหาวิทยาลัย อนุมัติให้บัณฑิตวิทยาลัยฉบับนี้เป็นส่วน
 หนึ่งของการศึกษาตามหลักสูตรปริญญาโทบัณฑิต

..... *สุพรรณิภา มุขนา* คณบดีบัณฑิตวิทยาลัย
 (รองศาสตราจารย์ ดร.สุประคิษฐ์ บุณนาค)

คณะกรรมการสอบวิทยานิพนธ์

..... *สรเสริญ ทรัพย์ไทย* ประธานกรรมการ
 (ผู้ช่วยศาสตราจารย์ สรรเสริญ ทรัพย์ไทย)



..... *สันต์ พณิชยกุล* กรรมการ
 (รองศาสตราจารย์ ดร.สันต์ พณิชยกุล)

..... *วิภาดา สุรัตน์กวีกุล* กรรมการ
 (ผู้ช่วยศาสตราจารย์ ดร.วิภาดา สุรัตน์กวีกุล)

..... *นลิน นิลอุบล* กรรมการ
 (รองศาสตราจารย์ ดร.นลิน นิลอุบล)

..... *ศิริพร สิริประณีต* กรรมการ
 (ผู้ช่วยศาสตราจารย์ ศิริพร สิริประณีต)

หัวข้อวิทยานิพนธ์ เอนไซม์ย่อยสลายเซลลูโลสของ Aspergillus fumigatus
Presenius (V₁) ที่แยกได้จากกองขยะ
 ชื่อนิสิต นางสาวนฤมล เรืองฤทธิรินทร์
 อาจารย์ที่ปรึกษา รองศาสตราจารย์ ดร. สันต์ พณิชกุล
 อาจารย์ที่ปรึกษาร่วม ผู้ช่วยศาสตราจารย์ ดร. วิภาดา สุรัตน์กุล
 ภาควิชา ชีวเคมี
 ปีการศึกษา 2525



บทคัดย่อ

การทดลองนี้ได้พยายามคัดเลือกเชื้อราที่มีความสามารถในการผลิตเอนไซม์เซลลูเลสที่ที่สุดโดยเปรียบเทียบกับเชื้อรามาตรฐาน Trichoderma viride QM 9414 พบว่าสามารถแยกเชื้อรา V₁ ซึ่งผลิตเอนไซม์เซลลูเลสได้สูงจากกองขยะที่รามอินทรา ซึ่งตามคุณลักษณะของเชื้อรา V₁ นี้พบว่าเป็น Aspergillus fumigatus Presenius จึงเรียกว่า A. fumigatus Fres. (V₁) พบว่าราชนิดนี้สามารถเจริญและผลิตเอนไซม์เซลลูเลสได้สูงถึง 450 หน่วย/มิลลิลิตร เมื่อเลี้ยงใน Czapek's dext media ที่มีแอลฟา-เซลลูโลสเป็นสารตั้งต้นคาร์บอน ที่ pH 5.0 อุณหภูมิ 45°ซ เป็นเวลา 8 วัน ซึ่งสูงกว่าเอนไซม์เซลลูเลสสูงสุดที่ผลิตโดย T. viride QM 9414 ในสภาวะที่มี pH 5.0 อุณหภูมิ 30°ซ เป็นเวลา 10 วัน นอกจากนี้ยังสามารถผลิตเอนไซม์โซลาเนสมีแอกติวิตี 75 หน่วย/มิลลิลิตร เมื่อใช้แอลฟา-เซลลูโลสเป็นสารตั้งต้นคาร์บอน และ 1,150 หน่วย/มิลลิลิตร เมื่อใช้ฟางข้าวเป็นสารตั้งต้นคาร์บอนในสภาวะเดียวกัน กลูโคสที่ความเข้มข้น 25 มิลลิโมล/ลิตร จะมีผลกระทบต่ออัตราการสังเคราะห์เอนไซม์ทั้งปริมาณและช่วงเวลาในการสังเคราะห์เอนไซม์สูงสุด ในการเตรียมเอนไซม์โดยการเลี้ยงเชื้อในเฟอร์เมนเตอร์และการเลี้ยงเชื้อในขวดแบบเขย่าพบว่าให้ผลที่แตกต่างกันทั้งช่วงเวลาที่ใช้ในการสังเคราะห์เอนไซม์สูงสุด ปริมาณเอนไซม์เซลลูเลส ปริมาณและชนิดขององค์ประกอบของเอนไซม์เซลลูเลส

จากการทำเอนไซม์ให้บริสุทธิ์โดยผ่านขั้นตอนการตกตะกอนโปรตีนด้วยแอมโมเนียมซัลเฟตอิ่มตัว 80 % คอลัมน์เซฟาเด็กซ์ จี-100 และคอลัมน์ดีอีเออี-เซฟาเด็กซ์ เอ-50 พบว่าเอนไซม์เซลลูเลสของ A. fumigatus Fres. (V₁) ประกอบด้วยอะมิเลส 1

ชนิดเรียกว่า *Avi* คาร์บอกซีเมทิลเซลลูเลส 2 ชนิดเรียกว่า *CMCaseI* และ *CMCaseII* และเบตา-กลูโคซิเดส 3 ชนิดเรียกว่า β -*GluI*, β -*GluII* และ β -*GluIII* คุณสมบัติทางฟิสิกเคมีคัลและจลนศาสตร์ของเอนไซม์องค์ประกอบของเซลลูเลส เช่น น้ำหนักโมเลกุล pH และอุณหภูมิที่เหมาะสมในการทำปฏิกิริยา ความทนทานต่อการเปลี่ยนแปลงของ pH และอุณหภูมิ ตลอดจนค่า K_m และ K_i ของเอนไซม์บางตัวได้รับการศึกษาเปรียบเทียบในระหว่างเอนไซม์ชนิดเดียวกันและเทียบกับ *crude enzyme* ด้วย ซึ่งพบว่าเอนไซม์องค์ประกอบของเซลลูเลสส่วนใหญ่จะทำปฏิกิริยาได้ดีในช่วง pH 4.0-5.0 และอุณหภูมิ 50-60 °C สามารถทนต่อ pH ในช่วงกว้างตั้งแต่ 4.0-8.0 ที่ 30 °C นาน 20 ชั่วโมง และทนต่ออุณหภูมิสูงถึง 60 °C ที่ pH 5.0 ได้นาน 4 ชั่วโมง นอกจาก *CMCaseI* และ *CMCaseII* เท่านั้นที่การเกิดปฏิกิริยาจะไวต่อการเปลี่ยนแปลงของ pH และอุณหภูมิมากกว่าเอนไซม์ชนิดอื่น ยิ่งไปกว่านั้นจากผลการศึกษาที่ยังชี้ให้เห็นด้วยว่าการทำงานของอะวิเซลเลสของ *A. fumigatus* Fres. (V_1) จะขึ้นกับเอนไซม์องค์ประกอบชนิดอื่นๆ อย่างมาก *CMCaseI* และ *CMCaseII* มีคุณสมบัติต่างๆ ใกล้เคียงกัน โดยเฉพาะอย่างยิ่งน้ำหนักโมเลกุลเท่ากัน คือ 28,750 คาลตัน แต่การเคลื่อนที่ในสนามไฟฟ้าอิเล็กโตรโฟรีซิสต่างกัน และค่า K_m ของ *CMCaseI* และ *CMCaseII* เมื่อมีคาร์บอกซีเมทิลเซลลูเลสเป็นสับสเตรต ที่ 37 °C ก็ต่างกันคือมีค่า 1.80 และ 4.72 มิลลิกรัม/มิลลิลิตร ตามลำดับ สำหรับเบตา-กลูโคซิเดสทั้งสามชนิดต่างกันที่ประจุ และ β -*GluI* กับ β -*GluIII* มีน้ำหนักโมเลกุลต่างกันด้วยคือ 55,000 และ 240,000 คาลตัน ค่า K_m ของ β -*GluI* มากกว่า β -*GluIII* ประมาณ 2 เท่า และปฏิกิริยาของเอนไซม์กับสับสเตรตออร์โธไทรโพรนิล-เบตา-ดี-กลูโคไพราโนไซด์ของ β -*GluI* จะถูกยับยั้งโดยกลูโคสแบบ *competitive inhibition* ซึ่งมีค่า $K_i = 6.20$ มิลลิโมล/ลิตร

เอนไซม์เซลลูเลสที่ผลิตโดย *A. fumigatus* Fres. (V_1) สามารถเก็บไว้ที่อุณหภูมิ -20 และ 4 °C ได้นาน 6 เดือน และ 30 °C โดยเติม 0.02% โซเดียมเอไซด์ ได้นาน 1 เดือนโดยสูญเสียแอกติวิตีไปไม่เกิน 5% *A. fumigatus* Fres. (V_1) สามารถใช้วัสดุเหลือใช้ทางการเกษตรเช่น ฟางข้าว ชานอ้อย และขังข้าวโพดเป็นสารตั้งต้นคาร์บอนในการผลิตเอนไซม์เซลลูเลสและการเจริญโตโดยตรงอีกด้วย โดยเฉพาะเมื่อใช้ฟางข้าวจะได้เอนไซม์เซลลูเลสปริมาณสูงที่สุด และยังพบว่าเอนไซม์เซลลูเลสที่ผลิตโดย *A. fumigatus* Fres. (V_1) สามารถย่อยสลายฟางข้าว ชานอ้อย และขัง-

ข้าวโพดไร่โดยให้ผลผลิตเป็นน้ำตาลกลูโคส : น้ำตาลรีทิวซ์อื่นๆเท่ากับ 1 : 10.5 , 1 : 7
และ 1 : 6 ตามลำดับ



ศูนย์วิทยทรัพยากร
จุฬาลงกรณ์มหาวิทยาลัย

Thesis title The Cellulolytic Enzymes Produced by
Aspergillus fumigatus Fresenius(V₁) Isolated
from Active Compost Piles.

Name Miss Narumol Ruangrittinont.

Department Biochemistry

Thesis Adviser Associate Professor Sanha Panichajakul, Ph.D.

Thesis Coadviser Assistant Professor Vipada Suratanakavikul,
Ph.D.

Academic Year 1982

ABSTRACT

This research is determined to selectively isolate the fungi which exhibits the ability to produce active cellulase by comparing to the standard strain, Trichoderma viride QM 9414. The fungus, strain V₁, which would produce active cellulase in the culture filtrate, was isolated from active compost piles at Ram Indra. Based on taxonomical characteristics, the organism was identified as Aspergillus fumigatus Fresenius. The growth and the enzyme production of A.fumigatus Fres.(V₁) at pH 5.0 were found to be at the maximum at 45°C, in the Czapek's dext media in the presence of α-cellulose as the sole source of carbon. The activity of the cellulase enzyme was 450 units/ml after the fungus had been grown under above conditions for 8 days which is 2 days quicker than what was discovered in T.viride QM 9414 grown at 30°C and pH 5.0. Furthermore, 75 and 1150 units/ml xylanase enzyme activity was also isolated from this particular organism in the medium containing respectively α-cellulose and rice straws as C-sources. The concentration at 25 mmoles/l of glucose in

the growing medium affects both the enzymatic activity and the time required for maximum enzyme production. Fermentation and flask shaking techniques yielded the striking differences concerning the various properties of enzyme obtained for example; the period of the maximal production, level of enzyme activity and the proportion of multienzyme components.

Through the following purification steps; 80% $(\text{NH}_4)_2\text{SO}_4$ precipitation, Sephadex G-100 and DEAE-Sephadex A-50 column chromatography, one peak of avicelase(Avi), two peaks of carboxymethyl cellulases (CMCaseI and CMCaseII) and three peaks of β -glucosidases (β -GluI, β -GluII and β -GluIII) were obtained from the culture filtrate of A.fumigatus Fres.(V₁). Physicochemical and kinetic properties including the determination of the molecular weight, optimal pH, optimal temperature, pH and thermal stability and finally K_m and K_i of some cellulase components were comparatively studied with the other similar enzymes together with the crude enzyme. Most of the enzyme components were found to be optionally active at pH range of 4.0-5.0, 50-60°C, the enzyme was stable at pH 4.0-8.0, 30°C for 20 h and could with stand to the high temperature of 60°C, pH 5.0 for 4 h. However, the activities of CMCaseI and CMCaseII were more affected by the pH and temperature than the other components, In addition, these results indicated that avicelase activity of A.fumigatus Fres.(V₁) appeared to depend on the other components. Interestingly CMCaseI and CMCaseII share various common properties, in

particular, the molecular weight which was estimated to be 28,750 daltons. On the other hand, the differences in electrophoretic mobility and K_m in the presence of carboxymethyl cellulose as the substrate at 37°C, were resulted. The value of K_m of CMCaseI and CMCaseII were measured as 1.80 and 4.72 mg/ml, respectively. Similarly, three β -glucosidase enzymes were shown to be charged different. The molecular weight of β -GluI, estimatedly 55,000 daltons, is different from that of β -GluIII which is 240,000 daltons but K_m of β -GluI was found to be 2 folds larger than that of β -GluIII. The activity of β -GluI with o-nitrophenyl- β -D-glucopyranoside was competitively inhibited by glucose. The K_i is 6.20 mmoles/l.

The cellulase activity of A.fumigatus Fres.(V₁) can be maintained at -20°C or 4°C for 6 months and at 30°C in the presence of 0.02% NaN₃, for only one month, with only utmost of 5% loss activity. Besides α -cellulose, cellulase could be produced from A.fumigatus Fres.(V₁) present in agricultural waste such as rice straws, bagasses and corn stovers as c-sources. The resulted enzyme produced can also degrade these agricultural waste, yielding considerable glucose and other reducing sugars in the ratio of 1:10.5, 1:7 and 1:6 respectively.

กิติกรรมประกาศ

ผู้เขียนใคร่ขอกราบขอบพระคุณและขอบคุณท่านผู้มีรายนามต่อไปนี้ที่ไต่กรุณา
เป็นผู้ควบคุมการวิจัย ให้คำแนะนำ ตลอดจนให้ความช่วยเหลือในทุกๆ ด้าน จนทำให้
วิทยานิพนธ์ฉบับนี้สำเร็จได้ด้วยดี

รองศาสตราจารย์ ดร. สันต์ พณิชกุล

ผู้ช่วยศาสตราจารย์ ดร. วิภาดา สุรัตน์กุล

ผู้ช่วยศาสตราจารย์ สรรเสริญ ทวีทอง

รองศาสตราจารย์ ดร. นลิน นิลอุบล

ผู้ช่วยศาสตราจารย์ ศิริพร สิทธิประณีต

รองศาสตราจารย์ ดร. สุมาลี พิษญาญูร

คุณดารารัตน์ รอดพวย

คุณสุพร นุชคำรงค์

คุณชนิตา พลาญเวช

คุณจันทร์เพ็ญ เกษะอำไพ

คุณสมศักดิ์ เขียวแสงใส

ขอขอบคุณสภาวิจัยแห่งชาติที่ไต่กรุณาให้ทุนอุดหนุนการวิจัย



ศูนย์วิทยทรัพยากร
จุฬาลงกรณ์มหาวิทยาลัย

สารบัญ

		หน้า
	บทคัดย่อภาษาไทย.....	ง
	บทคัดย่อภาษาอังกฤษ.....	ฉ
	กิจกรรมประกาศ.....	ญ
	สารบัญ	ฎ
	รายการตารางประกอบ	ฅ
	รายการรูปประกอบ	ด
	คำย่อ	ข
	บทที่	
1	บทนำ	1
2	วัสดุภัณฑ์ เคมีภัณฑ์ และเครื่องมือ	
	2.1 วัสดุภัณฑ์	16
	2.2 เคมีภัณฑ์	16
	2.3 เครื่องมือ	17
	2.4 จุลชีพมาตรฐานที่ใช้ในการทดลอง	19
3	วิธีการทดลอง	
	3.1 อาหารเลี้ยงเชื้อ	20
	3.2 การเตรียมสารละลาย	21
	3.3 การแยกเชื้อราที่มีความสามารถย่อยสลายเซลลูโลส จากกองขยะ	26
	3.4 การเก็บรักษาเชื้อราที่ใช้ในการทดลอง	26
	3.5 การเตรียมเอนไซม์เซลลูเลสจากเชื้อราที่แยกได้จาก กองขยะ	26
	3.6 การวัดแอกติวิตีของเอนไซม์ต่างๆ	26
	3.7 การวัดปริมาณน้ำตาลรีดิวซ์โดยวิธีของ Somogyi- Nelson	30



3.8	การวัดการเจริญของเชื้อราโดยการวัดปริมาณกลูโคซามีน ...	30
3.9	การวัดปริมาณของกลูโคซามีนโดยวิธีของ Morgan-Elson (ที่ปรับปรุง)	31
3.10	การวัดปริมาณโปรตีนด้วยวิธีของลอรี (Lowry)	31
3.11	วิธีวัดปริมาณกลูโคสด้วยกลูโคสออกซิเดสและเปอร์ออกซิเดส ..	31
3.12	การศึกษาสภาวะที่เหมาะสมในการเจริญ และการ สังเคราะห์เอนไซม์เซลลูเลสที่สูงสุดของเชื้อราที่ แยกได้จากกองขยะ	32
3.13	การเตรียมเอนไซม์ปริมาณมาก	33
3.14	ขั้นตอนการทำเอนไซม์ให้บริสุทธิ์	34
3.15	วิธีแยกโปรตีนด้วยโพลีอะคริลาไมด์เจลอิเล็กโตรโฟรีซิส ชนิดแท่ง	37
3.16	การศึกษาคุณสมบัติของเอนไซม์เซลลูเลสและองค์ประกอบ ของเอนไซม์เซลลูเลสที่ทำให้บริสุทธิ์บางส่วน	38
3.17	การศึกษาเสถียรภาพของเอนไซม์เซลลูเลสเมื่อเก็บ ไว้ที่อุณหภูมิต่างๆ	41
3.18	การศึกษาเสถียรภาพขององค์ประกอบของเอนไซม์ เซลลูเลสที่ทำให้บริสุทธิ์บางส่วนเมื่อเก็บไว้ที่อุณหภูมิ 4 °C ..	41
3.19	การสังเคราะห์เอนไซม์เซลลูเลสและการเจริญของเชื้อรา ที่แยกได้จากกองขยะซึ่งมีความสามารถย่อยสลายเซลลูโลส เมื่อใช้วัสดุเหลือใช้ทางการเกษตรเป็นสารตั้งต้นคาร์บอน ..	41
3.20	การศึกษาความสามารถในการย่อยสลายวัสดุเหลือใช้ ทางการเกษตรของสารละลายเอนไซม์เซลลูเลส	42
3.21	การศึกษาการสังเคราะห์เอนไซม์ไซลาลเนสของเชื้อรา ที่แยกได้จากกองขยะ	42

4	ผลการทดลอง	
4.1	ผลการแยกเชื้อราจากกองขยะที่มีความสามารถย่อยสลาย เซลลูโลส	44
4.2	ผลการศึกษาคุณสมบัติบางประการของเชื้อราที่แยกได้	44
4.3	ผลการศึกษาสภาวะที่เหมาะสมในการเจริญและการ สังเคราะห์เอนไซม์เซลลูเลสของเชื้อราที่แยกได้จากกองขยะ..	44
4.4	การสังเคราะห์เอนไซม์เซลลูเลสในรา V_1 เมื่อเลี้ยงใน สภาวะที่เหมาะสม	58
4.5	การสังเคราะห์เอนไซม์ไคลาเนสในรา V_1	58
4.6	ความสามารถของเซลลูเลสในการใช้สับสเตรตต่างๆ	59
4.7	การจำแนกชนิดของเชื้อรา V_1	59
4.8	ผลการศึกษาการสังเคราะห์เอนไซม์เซลลูเลสและการเจริญ ของ <u>A. fumigatus</u> Fres. (V_1) เมื่อใช้วัชกุเหลือใช้ ทางการเกษตรเป็นสารตั้งต้นคาร์บอน	64
4.9	ผลการเตรียมเอนไซม์เซลลูเลส	64
4.10	ผลการทำเอนไซม์ให้บริสุทธิ์	67
4.11	ผลการตรวจสอบความบริสุทธิ์ของเอนไซม์ที่ทำให้บริสุทธิ์	75
4.12	ผลการใช้โพลีอะโครลาไมด์เจลอิเล็กโตรโฟรีซิสชนิดแห้ง ในการจำแนกชนิดของเอนไซม์	75
4.13	ผลการศึกษาคุณสมบัติของเอนไซม์ที่ทำให้บริสุทธิ์บางส่วน	76
4.14	ผลการศึกษาเสถียรภาพของเอนไซม์เซลลูเลสใน crude enzyme จาก <u>A. fumigatus</u> Fres. (V_1)	128
4.15	ผลการศึกษาเสถียรภาพของเอนไซม์องค์ประกอบของ เซลลูเลสที่ทำให้บริสุทธิ์บางส่วน	134

บทที่

ท
หน้า

4.16 ผลการศึกษาความสามารถในการย่อยสลายวัสดุเหลือใช้ ทางการเกษตรของสารละลายเอนไซม์เซลลูเลสจาก <u><i>A.fumigatus</i></u> Fres. (V_1)	134
5 วิจารณ์และสรุปผลการทดลอง	137
เอกสารอ้างอิง	163
ภาคผนวก	173
ประวัติผู้เขียน	185



ศูนย์วิทยทรัพยากร
จุฬาลงกรณ์มหาวิทยาลัย

รายการตารางประกอบ

ตารางที่		หน้า
1	ขั้นตอนการแยกองค์ประกอบของเอนไซม์เซลลูเลสส์ให้บริสุทธิ์	10
2	แสดงคุณสมบัติบางประการของเชื้อราที่แยกได้จากกองขยะเทียบกับ เชื้อรามাত্রฐาน <u>T. viride</u> QM 9414	46
3	ความจำเพาะต่อสับสเตรตของเอนไซม์ที่เตรียมจาก V ₁	63
4	ผลการตกตะกอนโปรตีนด้วยแอมโมเนียมซัลเฟตอิ่มตัว 0-80 เปอร์เซ็นต์	69
5	การแยกเอนไซม์เซลลูเลสส์ของ <u>A. fumigatus</u> Fres. (V ₁) ที่เตรียมโดยการเลี้ยงเชื้อในเฟอร์เมนเตอร์ให้บริสุทธิ์	82
6	การแยกเอนไซม์เบตา-กลูโคซิเดสของเซลลูเลสส์ที่เตรียมโดยการเลี้ยง เชื้อในเฟอร์เมนเตอร์ให้บริสุทธิ์	83
7	การแยกเอนไซม์คาร์บอกซีเมทิลเซลลูเลสส์ของเซลลูเลสส์ที่เตรียมโดย การเลี้ยงเชื้อในเฟอร์เมนเตอร์ให้บริสุทธิ์	84
8	การแยกเอนไซม์อะมิเลสของเซลลูเลสส์ที่เตรียมโดยการเลี้ยงเชื้อ ในเฟอร์เมนเตอร์ให้บริสุทธิ์	85
9	การแยกเอนไซม์เซลลูเลสส์ของ <u>A. fumigatus</u> Fres. (V ₁) ที่เตรียมโดยการเลี้ยงเชื้อในขวดแบบเขย่าให้บริสุทธิ์	86
10	การแยกเอนไซม์เบตา-กลูโคซิเดสของเซลลูเลสส์ที่เตรียมโดยการ เลี้ยงเชื้อในขวดแบบเขย่าให้บริสุทธิ์	87
11	การแยกเอนไซม์คาร์บอกซีเมทิลเซลลูเลสส์ของเซลลูเลสส์ที่เตรียมโดย การเลี้ยงเชื้อในขวดแบบเขย่าให้บริสุทธิ์	88
12	การแยกเอนไซม์อะมิเลสของเซลลูเลสส์ที่เตรียมโดยการเลี้ยง เชื้อในขวดแบบเขย่าให้บริสุทธิ์	89
13	K _m และ V _{max} ของเอนไซม์เซลลูเลสส์และเอนไซม์องค์ประกอบ ใน crude enzyme และเอนไซม์ที่ทำให้บริสุทธิ์	106

ตารางที่

หน้า

14	แสดงค่าครึ่งชีวิต ($t_{1/2}$) ของเอนไซม์ที่อุณหภูมิ 70, 80 และ 90 องศาเซลเซียส	127
15	ค่า K_i ของเบตา-กลูโคซิเดสใน crude enzyme และ เอนไซม์ที่ทำให้บริสุทธิ์ (β -GluD) ที่อุณหภูมิ 45 °C เมื่อมีกลูโคส เป็นตัวยับยั้ง	131
16	สรุปผลการศึกษาคูณสมบัติของเอนไซม์เซลลูเลสและเอนไซม์ องค์ประกอบของเซลลูเลสที่ทำให้บริสุทธิ์ของ <u>A. fumigatus</u> Fres. (V_1)	132
17	เสถียรภาพของเอนไซม์เซลลูเลสใน crude enzyme จาก <u>A. fumigatus</u> Fres. (V_1) เมื่อเก็บไว้ที่อุณหภูมิ -20, 4 และ 30 องศาเซลเซียส เป็นเวลาต่างๆ	133
18	เสถียรภาพของเอนไซม์เบตา-กลูโคซิเดส คาร์บอกซีเมทิลเซลลูเลส และอะมิเซลเลสที่ทำให้บริสุทธิ์บางส่วน เมื่อเก็บไว้ที่อุณหภูมิ 4 องศาเซลเซียส	135
19	แสดงคุณสมบัติบางประการของเชื้อรา <u>A. fumigatus</u> Fres. (V_1) เปรียบเทียบกับ <u>A. fumigatus</u> Fres. 4-45-1F	181

ศูนย์วิทยทรัพยากร
จุฬาลงกรณ์มหาวิทยาลัย

รายการรูปประกอบ

รูปที่		หน้า
1	สูตรโครงสร้างของเซลลูโลส	1
2	รูปร่างของโครงสร้างของเซลลูโลสที่พบในผนังเซลล์ของพืชทั่วไป	3
3	ลำดับการเข้าทำปฏิกิริยาของเอนไซม์เซลลูเลส	7
4	วิธีการวัดแอกติวิตีของเอนไซม์เซลลูเลสโดยฟิลาเคอร์เปเปอร์แอสเสย์ ..	28
5	เชื้อราที่แยกได้จากกองขยะ V_1 , V_2 , V_3 และ เชื้อรามาตรฐาน <u>T. viride</u> QM 9414	45
6	เปรียบเทียบการเจริญและการสังเคราะห์เอนไซม์เซลลูเลสของ <u>T. viride</u> QM 9414, V_1 , V_2 และ V_3 ในระยะเวลาต่างๆ ..	48
7	เปรียบเทียบการเจริญของ <u>T. viride</u> QM 9414 , V_1 , V_2 และ V_3 เมื่อเลี้ยงที่อุณหภูมิ 30,40,45 และ 50 °ซ	49
8	เปรียบเทียบการสังเคราะห์เอนไซม์เซลลูเลสของ <u>T. viride</u> QM 9414 , V_1 , V_2 และ V_3 เมื่อเลี้ยงที่อุณหภูมิ 30,40, 45 และ 50 °ซ	50
9	เปรียบเทียบผลของอุณหภูมิต่อการเจริญและการสังเคราะห์เอนไซม์เซลลูเลสของ <u>T. viride</u> QM 9414 และ V_1	51
10	แสดงผลของจำนวนสปอร์ต่อการเจริญและการสังเคราะห์เอนไซม์เซลลูเลสของ V_1	52
11	แสดงความสัมพันธ์ระหว่างการสังเคราะห์เอนไซม์เซลลูเลสของ <u>T. viride</u> QM 9414 และ V_1 กับการเปลี่ยนแปลง pH ของอาหารเลี้ยงเชื้อ	54
12	เปรียบเทียบการสังเคราะห์เอนไซม์เซลลูเลสของเชื้อ V_1 ในอาหารที่มี pH เริ่มต้นในช่วง 3.0-7.0	55
13	แสดงปริมาณน้ำตาลรีดิวซ์ในอาหารเชื้อระหว่างที่มีการสังเคราะห์เอนไซม์เซลลูเลสของ <u>T. viride</u> และ V_1	56

14	ผลของกลูโคสต่อการสังเคราะห์เอนไซม์เซลลูเลสของ V_1 และการเปลี่ยนแปลง pH ของอาหารเลี้ยงเชื้อ	57
15	แสดงการสังเคราะห์เอนไซม์เซลลูเลส การเจริญ การเปลี่ยนแปลง pH ของอาหาร และปริมาณน้ำตาลรีดิวซ์ในอาหารขณะที่มีการสังเคราะห์เอนไซม์เซลลูเลสของ V_1 เมื่อเลี้ยงในสภาวะที่เหมาะสม	60
16	การสังเคราะห์เอนไซม์เซลลูเลสและไซลาเนสของ V_1 เมื่อใช้แอลฟา-เซลลูโลสเป็นสารตั้งต้นคาร์บอน	61
17	การสังเคราะห์เอนไซม์เซลลูเลสและไซลาเนสของ V_1 เมื่อใช้ฟางข้าวเป็นสารตั้งต้นคาร์บอน	62
18	เปรียบเทียบการสังเคราะห์เอนไซม์เซลลูเลส การเจริญของเชื้อรา <u>A. fumigatus</u> Fres. (V_1) และการเปลี่ยนแปลง pH ในอาหารเลี้ยงเชื้อเมื่อใช้แอลฟา-เซลลูโลส ฟางข้าว ชานอ้อย และซังข้าวโพดเป็นสารตั้งต้นคาร์บอน	65
19	รูปแบบของการสังเคราะห์เอนไซม์เซลลูเลส ปริมาณโปรตีน และการเปลี่ยนแปลง pH ของอาหารเมื่อเลี้ยง <u>A. fumigatus</u> Fres. (V_1) ในเฟอร์เมนเตอร์	66
20	สรุปขั้นตอนการทำเอนไซม์ให้บริสุทธิ์	68
21	ผลการแยกโปรตีนของเอนไซม์เซลลูเลสที่เตรียมโดยการเลี้ยงเชื้อในเฟอร์เมนเตอร์ใน $80\%(\text{NH}_4)_2\text{SO}_4$ แพรคชัน	71
22	ผลการแยกเอนไซม์เซลลูเลสที่เตรียมโดยการเลี้ยงเชื้อในขวดแบบเขย่าใน $80\%(\text{NH}_4)_2\text{SO}_4$ แพรคชัน	72
23	ผลการแยกโปรตีนของเอนไซม์ส่วน $\beta\text{-Glu}_1$ จากเซฟาเท็กซ์ จี-100 ของเอนไซม์ที่เตรียมโดยการเลี้ยงเชื้อในเฟอร์เมนเตอร์โดยใช้คอลัมน์คีโอเออี-เซฟาเท็กซ์ เอ-50	77
24	ผลการแยกโปรตีนของเอนไซม์ส่วน CAX_1 จากเซฟาเท็กซ์ จี-100 ของเอนไซม์ที่เตรียมโดยการเลี้ยงเชื้อในเฟอร์เมนเตอร์โดยใช้คอลัมน์คีโอเออี-เซฟาเท็กซ์ เอ-50	78

25	ผลการแยกโปรตีนของเอนไซม์ส่วน β -Glu ₂ จากเซฟาเท็กซ์ จี-100 ของเอนไซม์ที่เตรียมโดยการเลี้ยงเชื้อในขวดแบบเขย่าโดยใช้คอลัมน์ คีอีเออี-เซฟาเท็กซ์ เอ-50	79
26	ผลการแยกโปรตีนของเอนไซม์ส่วน CMCase จากเซฟาเท็กซ์ จี-100 ของเอนไซม์ที่เตรียมโดยการเลี้ยงเชื้อในขวดแบบเขย่าโดยใช้คอลัมน์คีอีเออี-เซฟาเท็กซ์ เอ-50	80
27	ผลการแยกโปรตีนของเอนไซม์ส่วน CAX ₂ จากเซฟาเท็กซ์ จี-100 ของเอนไซม์ที่เตรียมโดยการเลี้ยงเชื้อในขวดแบบเขย่าโดยใช้คอลัมน์ คีอีเออี-เซฟาเท็กซ์ เอ-50	81
28	รูปแบบของโปรตีนที่ได้จากขั้นตอนต่างๆในการทำเอนไซม์ให้บริสุทธิ์ แยกโดยโพลีอะโครลาไมด์เจลอิเล็กโตรโฟรีซิส	90
29	รูปแบบของโปรตีน แอคติวิตีของเบตา-กลูโคซิเดสและคาร์บอกซีเมทิลเซลลูเลส ในแฟรคชันต่างๆที่ได้จากขั้นตอนต่างๆในการทำเอนไซม์ให้บริสุทธิ์ แยกโดยโพลีอะโครลาไมด์เจลอิเล็กโตรโฟรีซิส	91
30	รูปแบบของโปรตีนและแอคติวิตีของเบตา-กลูโคซิเดสที่ได้จากการแยกโดยโพลีอะโครลาไมด์เจลอิเล็กโตรโฟรีซิส	92
31	รูปแบบของโปรตีนมาตรฐานและ เบตา-กลูโคซิเดสในการหาน้ำหนักโมเลกุลของ β -GluI และ β -GluIII โดยคอลัมน์เซฟาเท็กซ์ จี-200	94
32	เส้นกราฟแสดงความสัมพันธ์ระหว่าง K_{av} ของโปรตีนมาตรฐานและ \log ของน้ำหนักโมเลกุลในการหาน้ำหนักโมเลกุลของ β -GluI และ β -GluIII	95
33	รูปแบบของโปรตีนมาตรฐาน คาร์บอกซีเมทิลเซลลูเลสและอะมิเซลเลส ในการหาน้ำหนักโมเลกุลโดยคอลัมน์เซฟาเท็กซ์ จี-100	96
34	เส้นกราฟแสดงความสัมพันธ์ระหว่าง K_{av} ของโปรตีนมาตรฐาน และ \log ของน้ำหนักโมเลกุล ในการหาน้ำหนักโมเลกุลของ CMCCaseI, CMCCaseII และ Avi โดยคอลัมน์เซฟาเท็กซ์ จี-100 ..	97

รูปที่		ท หน้า
35	ผลของความเข้มข้นของแอลฟา-เซลลูโลสต่อแอกติวิตีของ <u>เซลลูเลส</u> ใน crude enzyme ที่อุณหภูมิ 37 และ 45 °ซ	99
36	ผลของความเข้มข้นของอะมิเลสต่อแอกติวิตีของ <u>อะมิเลส</u> ใน crude enzyme และ Avi ที่อุณหภูมิ 37 และ 45 °ซ	100
37	ผลของความเข้มข้นของออร์โรไนโตรเฟนิล-เบตา-ดี-กลูโคไพราโนไซด์ ต่อแอกติวิตีของ <u>เบตา-กลูโคซิเดส</u> ใน crude enzyme β -GluI และ β -GluIII ที่อุณหภูมิ 37 °ซ	102
38	ผลของความเข้มข้นของออร์โรไนโตรเฟนิล-เบตา-ดี-กลูโคไพราโนไซด์ ต่อแอกติวิตีของ <u>เบตา-กลูโคซิเดส</u> ใน crude enzyme และ β -GluI ที่อุณหภูมิ 45 °ซ	103
39	ผลของความเข้มข้นของคาร์บอกซีเมทิลเซลลูโลสต่อแอกติวิตีของ <u>คาร์บอกซีเมทิลเซลลูเลส</u> ใน crude enzyme, CMCaseI และ CMCaseII ที่อุณหภูมิ 37 °ซ	104
40	ผลของความเข้มข้นของคาร์บอกซีเมทิลเซลลูโลสต่อแอกติวิตีของ <u>คาร์บอกซีเมทิลเซลลูเลส</u> ใน crude enzyme, CMCaseI และ CMCaseII ที่อุณหภูมิ 45 °ซ	105
41	ผลกระทบของ pH ต่อแอกติวิตีของ <u>เซลลูเลส</u> ใน crude enzyme	108
42	ผลกระทบของ pH ต่อแอกติวิตีของ <u>เบตา-กลูโคซิเดส</u> ใน crude enzyme และ β -GluI	109
43	ผลกระทบของ pH ต่อแอกติวิตีของ <u>คาร์บอกซีเมทิลเซลลูเลส</u> ใน crude enzyme, CMCaseI และ CMCaseII	110
44	ผลกระทบของ pH ต่อ แอกติวิตีของ <u>อะมิเลส</u> ใน crude enzyme และ Avi	111
45	ผลของ pH ต่อเสถียรภาพของ <u>เซลลูเลส</u> ของ crude enzyme ...	113
46	ผลของ pH ต่อเสถียรภาพของ <u>เบตา-กลูโคซิเดส</u> ใน crude enzyme และ β -GluI	114

47	ผลของ pH ต่อเสถียรภาพของคาร์บอกซีเมทิลเซลลูเลสใน crude enzyme, CMCCaseI และ CMCCaseII	115
48	ผลของ pH ต่อเสถียรภาพของอะมิเซลเลสใน crude enzyme และ Avi	116
49	ผลกระทบบของอุณหภูมิต่อแอกติวิตีของเซลลูเลสใน crude enzyme	118
50	ผลกระทบบของอุณหภูมิต่อแอกติวิตีของเบตา-กลูโคซิเคสใน crude enzyme, β -GluI และ β -GluIII	119
51	ผลกระทบบของอุณหภูมิต่อแอกติวิตีของคาร์บอกซีเมทิลเซลลูเลสใน crude enzyme , CMCCaseI และ CMCCaseII	120
52	ผลกระทบบของอุณหภูมิต่อแอกติวิตีของอะมิเซลเลสใน crude enzyme และ Avi	121
53	ผลของอุณหภูมิต่อเสถียรภาพของเอนไซม์เซลลูเลสของ crude enzyme	123
54	ผลกระทบบของอุณหภูมิต่อเสถียรภาพของเอนไซม์เบตา-กลูโคซิเคสของ crude enzyme และ β -GluI	124
55	ผลของอุณหภูมิต่อเสถียรภาพของเอนไซม์คาร์บอกซีเมทิลเซลลูเลสของ crude enzyme , CMCCaseI และ CMCCaseII...	125
56	ผลของอุณหภูมิต่อเสถียรภาพของเอนไซม์อะมิเซลเลสของ crude enzyme และ Avi	126
57	Reciprocal Plot ของเบตา-กลูโคซิเคสใน crude enzyme ซึ่งถูกยับยั้งโดยกลูโคสที่ 45 °ซ	129
58	Reciprocal Plot ของเบตา-กลูโคซิเคสที่ไคจาก คอลมันน์คีโออี-เซฟาเท็กซ์ เอ-50 (β -GluI) ที่ 45 °ซ	130
59	เปรียบเทียบความสามารถของเอนไซม์เซลลูเลสของเชื้อรา <u>A. fumigatus</u> Fres. (V ₁) ที่เข้มข้น 5 เท่าในการย่อยสลาย แอลฟา-เซลลูโลสและเซลลูโลสในวัสดุเหลือใช้ทางการเกษตร	136

รูปที่	น หน้า
60	เส้นกราฟมาตรฐานของโปรตีนมาตรฐาน BSA โดยวิธีของ Lowry... 172
61	เส้นกราฟมาตรฐานของน้ำตาลรีดิวซ์มาตรฐานกลูโคสโดยวิธีของ Somogyi-Nelson 173
62	เส้นกราฟมาตรฐานของน้ำตาลรีดิวซ์มาตรฐานไซโลสโดยวิธีของ Somogyi-Nelson 174
63	เส้นกราฟมาตรฐานของกลูโคซามีนมาตรฐานโดยวิธีของ Morgan-Elson 175
64	เส้นกราฟมาตรฐานของออร์โธไนโตรฟินอล 176
65	เส้นกราฟมาตรฐานของน้ำตาลรีดิวซ์มาตรฐานกลูโคสโดยวิธี DNS .. 177
66	ความสัมพันธ์ระหว่างแอกติวิตีของเซลลูเลสในหน่วยที่ใช้แอลฟา- เซลลูโลสเป็นสับสเตรตกับแอกติวิตีของเซลลูเลสในหน่วย FP 178
67	เปรียบเทียบการสังเคราะห์เอนไซม์เซลลูเลสของ <u>A. fumigatus</u> Fres.(V ₁) กับ <u>A. fumigatus</u> Fres.4-45-1F และการเปลี่ยนแปลง pH ของอาหารเลี้ยงเชื้อ 182
68	เปรียบเทียบการสังเคราะห์เอนไซม์ไซลันเนสของ <u>A. fumigatus</u> Fres.(V ₁) กับ <u>A. fumigatus</u> Fres.4-45-1F 183

ศูนย์วิทยทรัพยากร
จุฬาลงกรณ์มหาวิทยาลัย

คำย่อ

OD = optical density

nm = nanometre

K_m = Michaelis-Menten constant

K_i = Inhibitor constant

V_{max} = Maximum velocity



ศูนย์วิทยทรัพยากร
จุฬาลงกรณ์มหาวิทยาลัย